一种改进型的高铁牵引网谐波检测算法

毛远斌¹ MAO Yuanbin

摘要

为精准模拟高铁牵引网实际谐波特性,文章基于 MATLAB/SIMULINK 平台,采用模块化设计方法构建高铁牵引网谐波模型。在此模型基础上,对 IHDA (改进谐波检测算法)与 IRPT (瞬时无功功率理论)两种谐波检测算法的特性展开对比分析。研究结果表明,相较于 IRPT 算法, IHDA 算法具备更快的响应速度与更高的检测精度,但存在低次谐波残留问题,难以完全满足高铁牵引系统对谐波检测的严格要求。为解决这一关键问题,进一步提出了一种适用于高铁谐波检测场景的改进型算法 (AHD)。通过仿真实验验证,AHD 算法可以有效弥补 IHDA 算法的不足,进一步提高高铁牵引网谐波检测的精度,为高铁牵引系统的稳定运行提供更可靠的技术支撑。

关键词

高铁;牵引网;谐波;提取器

doi: 10.3969/j.issn.1672-9528.2025.09.016

0 引言

随着现代科学技术的日新月异,新的技术驱动了现代交 通运输业的迅速发展。尤其在轨道交通领域, 无论是普速列 车还是高速动车组都为人们提供了便捷、高效、舒适的出行 体验。而高速动车在现代交通运输体系中扮演着极其重要的 角色,同时也为国民经济的发展做出了重要贡献。新一代高 速动车组凭借其智能化、绿色化以及舒适化的技术优势, 再 次改变了人们的出行方式,不仅实现了时空距离的显著缩短, 更成为推动区域经济深度融合的重要纽带。而牵引供电系统 作为高铁运行的"心脏",其可靠性、稳定性直接决定着轨 道交通的能效极限与安全边界,同时也为交流传动列车提供 优质电能。高铁采用交 - 直 - 交传动系统, 首先将 27.5 kV 的 单相交流电整流成直流电, 然后再将直流电逆变成对称三相 交流电,为牵引电机提供优质电能。由于交-直-交传动系 统存在大量的非线性元件, 在实际运行过程中, 总会对供电 系统产生谐波[1]。注入供电系统的谐波电流穿越牵引网,可 能引发系统电压畸变, 影响其他电力机车安全运行, 甚至还 会造成通信干扰等一系列问题,严重威胁到高速列车正常运 行[2]。因此, 高速铁路牵引网谐波抑制技术一直备受铁路部 门和相关学者高度重视。

1 高铁牵引网谐波特性及模型

高速铁路运行的电力机车采用交 - 直 - 交传动方式,此 传动模式在电能转换、控制环节展现出优良特性。其变流器

1. 湖南铁路科技职业技术学院 湖南株洲 412000 [基金项目] 2023 年度湖南省教育厅科学研究项目 (23C0820) 输入端配置了 PWM (脉冲宽度调制) 四象限整流电路,该 电路凭借先进的控制策略与高效转换能力,能有效抑制低次 谐波的产生,使得注入系统的低次谐波含量相较于直流传动 的电力机车大幅减少。但非线性电力电子器件会增加牵引网 高频谐波含量,对电力机车的运行产生了严重的影响。

根据实测,动车组典型谐波频谱较宽,除了低奇次(如频率 150、250、550 Hz)谐波外,高次谐波也大量存在^[3]。高铁型号较多,且在不同的牵引工况下其频谱分布略有差异,但频谱分布以频率为 100、150、250、1 150、1 250、1 750 Hz 附近为主 ^[4]。根据高速铁路运行的电力机车运行工况以及牵引网谐波特性,在 MATLAB/Simulink₇ 中搭建牵引网谐波特性模型,通过仿真,其牵引网谐波特性的波形图及其傅里叶分析图如图 1 所示。

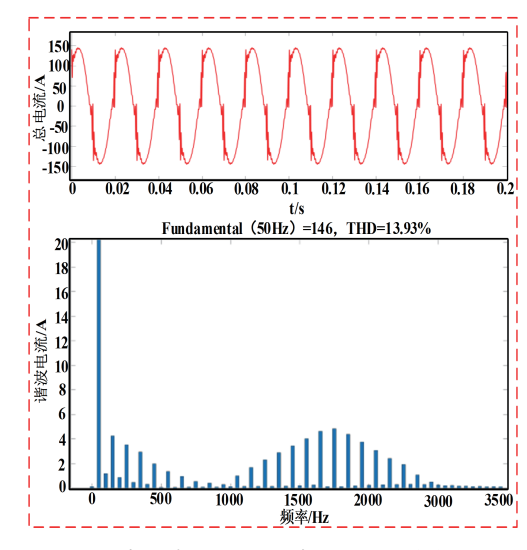


图 1 高铁牵引网谐波特性傅里叶分析图

在图 1 中,波形展示了高速牵引网电流在 MATLAB/Simulink₇ 环境下的仿真结果,图中直观地呈现出显著的波形畸变现象,这主要由电力机车大量的非线性电子器件的应用所致,反映了实际运行中复杂的电磁环境。与之对应的图 1下图柱状图则呈现了该波形的傅里叶频谱分析结果,清晰揭示了高次谐波主要部分在 1 750 Hz 频段附近,经计算该频点的总谐波失真度 THD=13.93%。

2 适用于高铁牵引网谐波检测算法

当前,谐波治理的方法大致可分为3类。一是采用成本 低廉的无源滤波器(passive power filter, PPF),但滤波效果 一般,滤波器容易与系统发生谐振;二是成本更高的有源滤 波器 (active power filter, APF), 但滤波效果更好; 三是混 合式滤波器 (hybrid filter, HF), 其兼顾了 PPF 和 APF 的优势, 滤波效果和经济性较好。有源滤波器要实现高效、可靠的滤 波性能, 离不开精准、快速的谐波电流检测技术。常用的检 测算法有基于瞬时无功率理论算法,但存在相位延迟缺点; 小波变换算法计算量大,存在对函数选取有一定要求等缺陷。 希尔伯特-黄变换算法可用于谐波与间谐波检测,文献[5]采 用自适应波形延拓的改进型希尔伯特-黄变换谐波检测技术, 验证表明该算法精度高,符合电力系统谐波和间谐波分析的 要求,但该算法存在计算难度高、噪声敏感等缺陷。而正序 基波提取器算法在提取谐波时, 能较好地兼顾精度和响应速 度,特别适用于牵引网这类负载变化较大的系统,其提取原 理简单概括为:

当输入信号 $i(t)=A\sin(\omega t+\varphi)$ 存在 $\Delta\omega$ 时,其幅值积分可变为:

$$y(t) = A \sin \left[\left(\omega + \frac{\Delta \omega}{2} \right) t + \varphi \right] \frac{\sin \frac{\Delta \omega}{2}}{\frac{\Delta \omega}{2}} t \tag{1}$$

当 $\Delta \omega$ 相对较大时,根据拉斯变换可得:

$$Y(s) \approx \frac{s}{s^2 + \omega^2} \cdot I_1(s) + \frac{\omega}{s^2 + \omega^2} \cdot R_1(s) = 0$$
 (2)

由(2)式可知,其可以提取基波,且具有选频特性。 考虑到 $\Delta\omega$ 的大小会影响到所提取基波总谐波畸变率(THD),即在有低次谐波的系统中比例系数 k 越大,虽然提取速度越快,但会使提取的基波 THD 值变大,但如果该系统只含有高次谐波,比例系数 k 越大,提取的基波 THD 值也很小 $^{[6]}$ 。

根据高铁牵引网谐波特性,在 MATLAB/Simulink₇ 中搭 建谐波特性模型。采用基于瞬时无功功率理论谐波检测算法 (instantaneous reactive power theory harmonic detection algorithm, IRPT) 与改进型正序基波提取器检测算法 (improved harmonic detection algorithm, IHDA) 对比分析, 其仿真波形图及其傅里叶分析结果如图 2 所示。

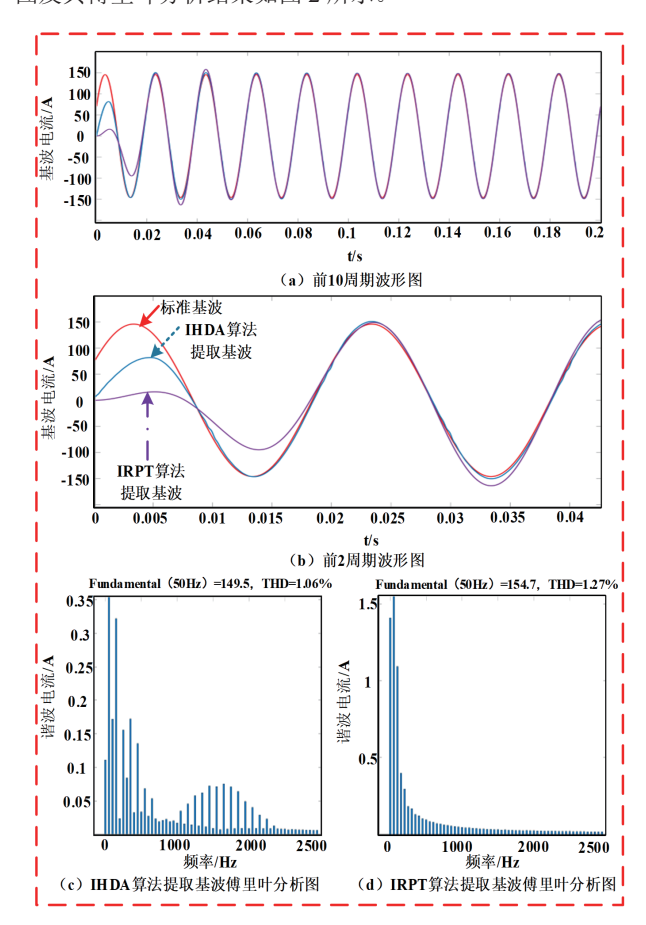


图 2 IRPT 算法与 IHDA 算法提取基波对比图

图(a)中的三条曲线分别为系统标准基波、IRPT算 法与 IHDA 算法所提取的基波曲线图。图(b)为图(a) 前2周期放大图,其中标准基波曲线为图(b)中实线箭头 所指曲线, IHDA 算法所提取的基波曲线为图(b)中虚线 箭头所指曲线, IRPT 算法所提取的基波曲线为图 (b) 中 划线点箭头所指曲线。从放大图(b)可以清晰地看出,采 用 IHDA 算法所提取的基波较 IRPT 算法提取基波先与标准 基波重合,说明 IHDA 算法具有更好的收敛性,响应速度 更快。从二者的傅里叶分析图(c)和(d)可知,虽然采 用 IHDA 算法所提取的基波 THD 值更小(THD_{IHDA}=1.06% < THD_{IRPT}=1.27%),精度稍高,但该算法依然存在少部分低 次谐波。为进一步提高基波提取精度,根据高铁牵引网谐波 特性可知, 其低次谐波的主要频谱集中在150、250、550 Hz 等附近, 高频主要集中在1750 Hz 附近。通过设计具有选 频特性的幅值积分器模块,采用阶梯式低次谐波消除策略, 即依次搭建针对 150、250、350、450、550 Hz 频谱的前段 谐波消除通道,同时又搭建150、250 Hz频谱的后段谐波消 除通道,构建一种适用于高铁牵引网的谐波检测算法 (algorithm for harmonic detection in high-speed rail traction networks, AHD)。这样在确保快速响应的同时,进一步实现提取精度的提升,满足高铁谐波检测算法要求。该技术方案能够在MATLAB/Simulink₇中有效模拟高铁牵引网复杂工况下的谐波检测需求,确保检测系统在高速运行环境中仍具备可靠的实时性与准确性,其 AHD 算法策略如图 3 所示。

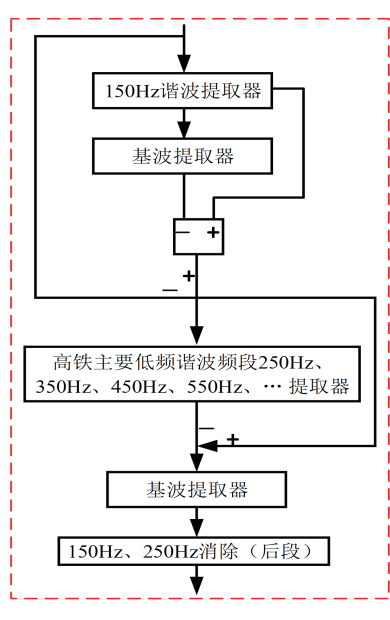


图 3 AHD 算法策略图

根据图 3 阶梯式低次谐波消除策略,在 MATLAB/Simulink₇ 中搭建 AHD 算法,其提取的基波傅里叶分析如图 4 所示。

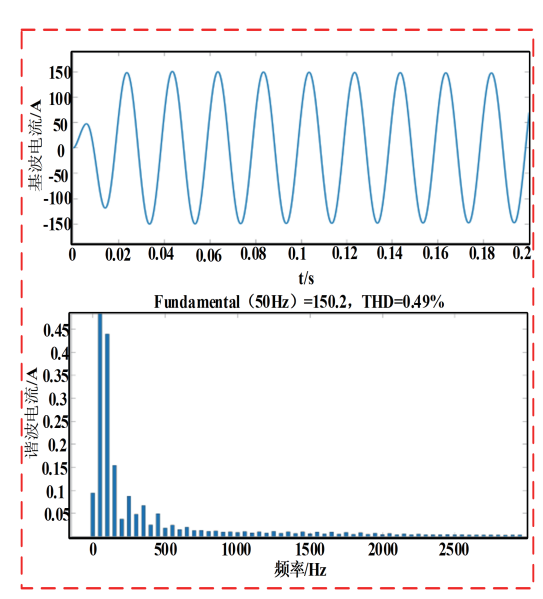


图 4 AHD 算法提取基波傅里叶分析图

结合图 3~4 可知,采用AHD 算法所提取基波的THD值比采用IHDA算法所提取基波的THD值小了一半(THD_{AHD}=0.49% < THD_{IHDA}=1.06%),精度提升了一倍。这表明AHD算法在谐波抑制方面表现更优,能够更精准地分离基波与谐波成分。THD值的显著降低直接反映了信号纯度

的提高,对于高铁牵引网这类具有复杂电力电子设备的系统来说,AHD 算法更适合用于该系统谐波的提取。

3 总结

本文根据高速铁路牵引网谐波特性,在 MATLAB/Simulink, 中搭建谐波特性模型。通过对比 IHDA 算法与 IRPT 算法的滤波特性可知,IHDA 算法具有更快的响应速度和更高的精度,但 IHDA 算法在提取的基波中仍存在少量的低次谐波,为进一步提高检测精度,满足高铁牵引网谐波检测要求,构建了 AHD 算法。该算法通过后段增加低次谐消除通道,有效解决了低次谐波残留问题。经过仿真对比分析,在相同工况下,采用 AHD 算法所提取的基波的 THD 值较 IHDA 降低约 50%,而响应时间基本不变。仿真结果验证了 AHD 算法在检测谐波过程中精度的显著提升,因此,该算法更契合高速铁路牵引供电系统对谐波检测高精度的要求。

参考文献:

- [1] 吴敬兵,罗安,马伏军,等.无功和谐波补偿装置的控制方法 [J]. 电力自动化设备,2011(5):43-48.
- [2] 曹阳.基于同步检测法的高速铁路牵引网谐波抑制研究[J]. 沈阳工程学院学报(自然科学版),2015,11(2):141-145.
- [3] 邵洋, 陈丽华, 胡海涛, 等. 基于 C 型与单调谐滤波器组合的高铁牵引供电系统谐波治理方法 [J]. 铁道学报, 2018, 40(4): 52-59.
- [4] 周胜军,谈萌.基于监测数据的高铁动车组谐波特性分析 [J]. 电力科学与技术学报,2018,33(3):128-133.
- [5] 张敢, 施火泉, 饶琨. 基于 HHT 谐波与间谐波检测研究 [J]. 电源学报, 2019,17(4):155-161.
- [6] 毛远斌,冯江华,周方圆,等.基于正序基波提取器的改进型单相谐波检测算法研究[J].大功率变流术,2017(3):36-41.
- [7] 张岩,祁霁舢,张志刚,等.基于宽频带滤波器的牵引供电系统谐波治理[J]. 电气工程学报,2024,19(4):434-440.

【作者简介】

毛远斌(1989—),男,湖南武冈人,硕士研究生,讲师、 工程师,研究方向: 电气工程领域电力系统电能质量、电力 拖动等。

(收稿日期: 2025-05-08 修回日期: 2025-09-16)